

آشکارسازی پویایی نوین گسل درونه با کمک داده های دور سنجی و اطلاعات زمین شناسی

حمیده امینی<sup>۱\*</sup>، مرتضی فتاحی<sup>۱</sup> و محمد رضا قاسمی<sup>۲</sup>

<sup>1</sup> مؤسسه رئوفیزیک، دانشگاه تهران، تهران، ایران.

<sup>۲</sup>پژوهشکده علوم زمین، سازمان زمین‌شناسی و اکتشافات معدنی کشور، تهران، ایران.

تاریخ پذیرش: ۱۳۸۷/۱۲/۰۵

تاریخ دریافت: ۱۳۸۷/۰۹/۰۵

حکیمہ

گسل درونه، یک گسل راستالغز چپ بر و فعال در شمال خاور ایران است که اثر سطحی آن حدود ۷۰۰ کیلومتر درازا دارد. این گسل در طول مسیر خود نهشته‌های تر شیری و کواترنری را قطع می‌کند. در چند بخش از آن می‌توان نهشته‌هایی باسته به دوره‌های پالئوژن، نئوژن و مخروط‌افکنهای کواترنری را شناسایی کرد که در آنها جابه‌جایی‌های ناشی از گسلش دیده می‌شود؛ از خاور بیرق تا خاور خلیل آباد، در نهشته‌های نئوژن می‌توان جابه‌جایی‌هایی بین ۴۵۷–۹۱ متر را در تصاویر لندست مشاهده کرد. در آبراهه‌هایی که بر روی این واحداً جریان دارند نیز جابه‌جایی‌هایی قابل مشاهده است. در این نوشتار، تلاش شده است تا تاریخچه اخیر گسلش، با استفاده از جابه‌جایی‌های به دست آمده و نرخ لغزش گسل، محاسبه شود. مطابق انتظار، سن آغاز جابه‌جایی واحداً های زمین‌شناسی بسیار کمتر از سن واحداً در نهشته‌های زمین‌شناسی و سن آبراهه‌هایی که بر روی این واحداً جریان دارند کمتر از سن واحداً به دست آمده است و از آنجا که در چندین هزار سال گذشته جابه‌جا شده‌اند، تأییدی بر فعال بودن گسل درونه در زمان حال هستند.

**کلید واژه ها :** گسل درونه، جابه جایی، زمین شناسی

\*نو سنده مسئو ا؛ حمیده امنی

E-mail: ese\_Amini@yahoo.com

مقدمة - ١

فلات ایران بخشی از کمریند کوه‌های آلب-هیمالیا است و در محل همگرایی دو صفحه اصلی عربستان و اوراسیا قرار دارد. فشارش ناشی از این همگرایی باعث ایجاد گسل‌های فراوانی در ایران شده است که راستای برخی از این گسل‌ها زاویه بزرگی با جهت فشار ناشی از این دو صفحه می‌سازد. از جمله این گسل‌ها می‌توان به گسل درونه که در تقسیمات پهنه‌های روسیه ایران، آن را مرز میان خردقاره ایران مرکزی و پهنه مرکزی ایران در نظر می‌گیرند (آقاباتی)،<sup>۱۳۸۳</sup> اشاره کرد.

گسل درونه، گسل طویلی است که از مرز ایران و افغانستان، در شمال خاور از حدود طول جغرافیایی<sup>۵۵</sup> ۶۰° خاوری با روند شمال باخت-جنوب خاور شروع می شود و در بخش میانی به طور تقریبی در راستای خاوری-باختنی قرار دارد و سپس تا نزدیک مرکز ایران در طول جغرافیایی<sup>۵۳°۰۰</sup> خاوری با روند شمال خاور-جنوب باخت-جنوب به سمت جنوب ادامه بیدا می کند.

۲- ذہنی شناسی گسل دو و نہ

Wellman (1966) این گسل را به دلیل عبور آن از نزدیکی روستای درونه، به نام گسل درونه، و Stocklin & Nabavi (1973) بخش باختری این گسل را کوپیر بزرگ نامگذاری کردند (شکل ۲-الف). در طی زوراسیک با ایجاد نیروهای کششی، خرده قاره ایران مرکزی از سپر توران جدا شده است و موقعیت این جداشدگی در حد فاصل میان محل برخورد هرسینین در شمال و گسل کوپیر بزرگ (گسل درونه) در جنوب واقع بوده است. خرد قاره ایران مرکزی طی زوراسیک، چرخش به تقریب ۷۰ درجه‌ای پادساعتگرد نسبت به صفحه توران داشته است. در طول مزوژوییک تا زمان حال چرخش ۱۳۵° پادساعتگرد در ایران مرکزی در خلاف جهت عقربه ساعت رخداده است (درویش زاده، ۱۳۷۰). گسل درونه، نزدیک طول جغرافیایی  $57^{\circ}\text{E}$  تغییر روند می‌دهد. گسل درونه و دشت بیاض در مرز ایران و افغانستان با زاویه  $20^{\circ}$  به سمت یکدیگر همگرایی دارند (Walker et al., 2004)، در زمان حال شاید بتوان گفت که حرکت چرخشی گسل Wellman (1966) درونه به دشت بیاض انتقال پیدا کرده است (Tavakoli, 2007).

گسل درونه طویل ترین گسل ایران پس از گسل اصلی زاگرس است. بخش زیادی از سیستم گسل درونه بدون لرزه است (زارع، ۱۳۷۹) بنابراین، میزان ارتعاشات زمین در اطراف این گسل در مقایسه با دیگر مناطق ایران، کمتر و ملایم تر است (Berberian, 1976b). تنها یک زمین لرزه بزرگ تر از ۷ (زمین لرزه ۶۱۱، با بزرگای ۷ در گستره این گسل (Ambrases & Melville, 1982)) در دوغآباد ثبت شده است. اطلاعات دستگاهی نیز بیشینه شدت زمین لرزه های ثبت شده تاکنون در اطراف این گسل را ۵/۶ نشان می دهدن (با توجه به کاتالوگ های مختلف). اما براساس شواهد زمین ریخت شناسی شامل جایه جایی در میان نهشته های جوان کواترنری، این گسل فعال است (Tchalenko et al., 1973). از این رو، انجام بررسی های دقیق بر روی گسل از دیدگاه خطر لرزه ای بخش شمال ایران ضروری به نظر می رسد.

برای بررسی این گسل از اطلاعات نقشه‌های زمین‌شناسی (تریت‌جام، تریت‌حیدریه، کاشمر، خارتوران، تایباد، گناباد)، تصاویر ماهواره‌ای و عکس‌های هوایی این ناحیه استفاده شد؛ و اطلاعاتی در مورد زمین‌شناسی گسل درونیه و میان جایه‌جایه بعض از واحد‌های زمین‌شناسی اطراف آن را ارائه شد.

جابه‌جایی آبراهه‌ها که بر روی این واحداً جریان دارند، در اطراف گسل درونه، بررسی شود. شکل ۲-الف گسل درونه را به صورت خط قرمز و بخش مورد بررسی را در درون مستطیل سفید نشان می‌دهد.

با مقایسه نقشه‌های زمین‌شناسی، تصاویر ماهواره‌ای لنdest و کویک‌برد، در بخش میانی گسل از روستای درونه در باخترا کاشمر در خاور، در چند محل نهشته‌های سنگ‌جوش‌های نتوژن در حد فاصل میان طول و عرض‌های  $38^{\circ}E$ ,  $57^{\circ}N$ ,  $15^{\circ}N$ ,  $58^{\circ}E$ ,  $22^{\circ}N$ ,  $35^{\circ}E$ ,  $17^{\circ}N$  دیده شده‌اند که جابه‌جایی آنها به گونه‌ای است که به راحتی می‌توان حرکت چپ‌بر گسل را از روی آنها تشخیص داد. شکل ۳، چند جابه‌جایی که در این بخش از گسل دیده می‌شود و موقعیت آنها در تصویر ماهواره‌ای شکل ۲-ج با مستطیل سفید رسم شده است را نشان می‌دهد. مقادیر جابه‌جایی واحداًهای زمین‌شناسی، در جدول ۱ ارائه شده‌اند.

از آنجا که اختلاف بین مقادیر جابه‌جایی به دست آمده از تصاویر لنdest و کویک‌برد کم است، در شکل‌های ۴ و ۵، تنها به یادآوری جابه‌جایی واحداًهای در تصویر لنdest اکتفا می‌شود. همان‌طور که در جدول ۱ دیده می‌شود، در بیشتر موارد مقدار جابه‌جایی‌ها در تصاویر کویک‌برد، کمتر از مقدار جابه‌جایی‌ها در لنdest است. توجیهی که برای این اختلاف وجود دارد، دقیق است که تصاویر کویک‌برد دارند؛ زیرا موقعیتی که در تصویر لنdest امکان مشاهده آن وجود ندارد را می‌توان در تصویر کویک‌برد به علت دقت بالای کویک‌برد (۶۰ cm) دید. البته در طول زمان ممکن است نهشته‌های در بخش‌های اطراف جابه‌جایی‌ها (به طور مثال رسوبگذاری در اطراف رودخانه‌ها) نهشته شوند و اجازه مشاهده دقیق پدیده را ندهند. در مشاهده واحداًهای زمین‌شناسی، نه تنها در طول زمان زمین‌شناسی، بلکه در هر واحد زمانی در دو طرف واحداًهای نیز ممکن است اختلافاتی در جابه‌جایی‌های چپ و راست واحداًهای مشاهده شوند که می‌تواند ناشی از عوامل مختلفی از جمله میزان فرسایش در منطقه باشد (جدول ۱).

افرون بر جابه‌جایی موجود بر روی واحداًهای زمین‌شناسی، می‌توان در آبراهه‌هایی که بر روی این واحداًهای جریان دارند نیز جابه‌جایی‌های را دید. آشکار است که مقادیر جابه‌جایی آبراهه‌هایی که بر روی واحداًهای زمین‌شناسی جریان دارند باید کمتر از جابه‌جایی واحداًهای باشد که این مطلب با بررسی‌های انجام شده بر روی آبراهه‌ها در این پژوهش تصدیق می‌شود (جدول ۱، شکل‌های ۴ و ۵). در بررسی‌های انجام شده بر روی تصاویر ماهواره‌ای و عکس‌های هوایی، در برخی نقاط نزدیک گسل یک دسته از جابه‌جایی‌ها قابل دیدن است که به احتمال بیانگر حضور شاخه‌ای احتمالی از گسل در این مناطق هستند (شکل ۵-ج). لازم به یادآوری است که در نقشه‌های زمین‌شناسی (۱:۲۵۰۰۰) در این محل‌ها به وجود گسل اشاره نشده است. شکل ۵-ج، بخشی از گسل را نشان می‌دهند که تنها بخشی از گسل (در منطقه مورد بررسی) هستند که در آن واحد زمین‌شناسی در دو شاخه گسل گسترش یافته است. با به دست آوردن مجموع جابه‌جایی‌ها در تصویر لنdest، در این بخش بر روی هر شاخه از گسل در واحداًهای زمین‌شناسی (در شاخه شمالی حدود  $40\text{ m}$ ) و در شاخه جنوبی حدود  $335\text{ m}$  و در آبراهه‌های مسیر (در شاخه شمالی حدود  $308\text{ m}$  و در شاخه جنوبی حدود  $335\text{ m}$ )، مجموع جابه‌جایی‌های زمین‌شناسی و آبراهه به دست آمده در دو شاخه دارای اختلاف کمی با هم هستند؛ اما به هر حال جابه‌جایی آبراهه‌ها کمتر از واحداًهای زمین‌شناسی است. پس می‌توان نتیجه گرفت که نرخ لغزش در دو شاخه گسلی تقریباً با هم برابر خواهد بود؛ مطالعه ژئودتیک (GPS) و تعیین سن (OSL) در بخشی از گسل نرخ لغزش را به میزان

چرخش پاد ساعتگردی که در منطقه گسل درونه وجود دارد، یکی از علل حرکت چپ‌بر گسل درونه است (شکل ۳، ۴ و ۵). زارع (۱۳۷۹)، سازوکار راست‌الغز راست‌بری را با توجه به روندهای ساختاری اصلی و ریخت آبراهه‌ها به بخش خاوری آن نسبت داده است.

در این پژوهش، با مقایسه نقشه‌های زمین‌شناسی پنهان گسل درونه تلاش شده است تا میزان جابه‌جایی تجمعی واحداًهای زمین‌شناسی بر روی گسل برآورد شود. بررسی این نقشه‌ها نشان می‌دهد که بیشترین نهشته‌هایی که در امتداد گسل درونه دیده می‌شوند، نهشته‌های کواترنری هستند. این نهشته‌ها از فرسایش کوه‌های اطراف (که مهم‌ترین آنها کوه سرخ در شمال کاشمر است) حاصل شده‌اند. مواد فرسایش یافته ناشی از آبراهه‌های بسیاری که (در شناسایی جنبش گسل نیز به کار می‌رود) از این کوه‌ها سرچشمه گرفته‌اند، با گذر زمان بر روی نهشته‌های ترشیری نهشته شده‌اند. هم اکنون، می‌توان نهشته‌هایی از دوره‌های پالتوژن، نتوژن و نهشته‌های آبرفتی کواترنری را در اطراف گسل دید. با بررسی نهشته‌های اطراف گسل و بر اساس اطلاعات نقشه‌های زمین‌شناسی تهیه شده، اطلاعاتی در مورد منطقه مورد بررسی به دست می‌آید؛ از بخش خاور به سمت باخترا بخش مورد مطالعه، در منطقه کاشمر، خلیل‌آباد و بردسکن قطعاتی از فلیش‌ها و سنگ‌جوش‌ها در بین نهشته‌های پادگانه‌های جوان که با گسل قطع شده‌اند، دیده می‌شوند. در منطقه کاشمر، رویلیت‌ها و توف‌ها و در حوالی بردسکن، توف‌های سیز رنگ همراه با آهک در مسیر گسل قرار گرفته‌اند. در نزدیکی روستای درونه پادگانه‌های قدیمی و نیز سنگ‌جوش‌هایی با میان لایه‌های مارل نومولیت در مسیر گسل قرار می‌گیرند، در باختیری ترین بخش گسل، نهشته‌های بیشتر شامل، مارل- سنگ‌ماسه و سنگ‌جوش‌های سیز و سرخ به سن پائلوسن هستند و در میان آنها پنهانه‌های آبرفتی دیده می‌شوند. در بخش جنوبی گسل، رسوبات آبرفتی همراه با سنگ‌جوش‌های سخت نشده و نیز گروال‌های جدید دیده می‌شوند (شکل ۲- ب).

### ۳- روش مطالعه

شواهد زمین‌ریخت شناختی نمایانگر جابه‌جا شدن واحداًهای زمین‌شناسی و رویدخانه‌ها در راستای گسل درونه هستند. در این نوشتار، با توجه به شواهد دورسنجی، برای مشاهده جابه‌جایی‌های ایجاد شده توسط گسل بر روی شواهد زمین‌ریختی، افزون بر استفاده از نقشه‌های زمین‌شناسی با مقیاس‌های (۱:۱۰۰۰۰ و ۱:۲۵۰۰۰)، از عکس‌های هوایی (۱:۵۰۰۰) و تصاویر ماهواره‌ای لنdest (۱۵ m ETM) و کویک‌برد (۶۰ cm) نیز استفاده شده است و با استفاده از انطباق همه تصویرها با یکدیگر مقدار جابه‌جایی واحداًهای زمین‌شناسی و آبراهه‌های روى آنها اندازه گيری شده‌اند. با استفاده از این داده‌ها و مقایسه آنها با نرخ لغزش برآورد شده از سوی Fattahi et al. (2006) و (Tavakoli 2007) سن تقریبی آغاز جابه‌جایی چپ‌بر روی گسل درونه برآورد شده است.

### ۴- جابه‌جایی واحداًهای زمین‌شناسی و آبراهه‌ها در اثر حرکت گسل درونه

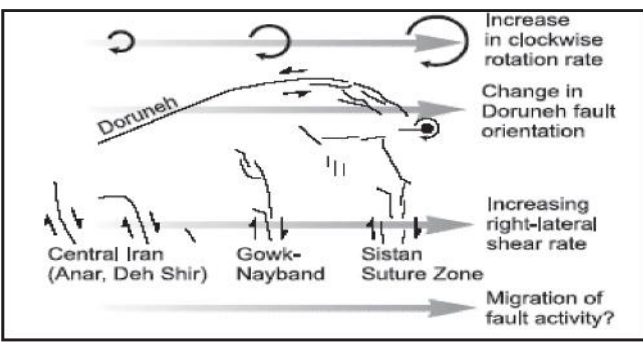
از جمله افرادی که بر روی جابه‌جایی‌های اطراف گسل درونه بحث و بررسی انجام داده‌اند می‌توان به (Fattahi et al. 2006) و (جودای ۱۳۸۵) اشاره کرد که البته بیشترین تمرکز آنها بر روی جابه‌جایی آبراهه‌ها، در اطراف گسل بوده است. در این نوشتار، سعی شده تا اطلاعات جابه‌جایی واحداًهای زمین‌شناسی بخشی از گسل و نیز

می سازد.

~۲/۵ mm/yr

### سپاسگزاری

با تشکر از آقای مهندس جوادی که عکس‌های هوایی اطراف گسل درونه را در اختیار قرار دادند و نیز با تشکر از آقای دکتر توکلی که اطلاعات نرخ لغزشی که بر روی گسل درونه به دست آورده‌اند و نتایج نهایی کار خود را در اختیار نویسنده‌گان قرار دادند.



شکل ۱- تصویر نمادین از توزیع ناهمانگ (uneven) پرش راست بر شمالی-جنوبی بر روی سامانه گسل‌های ایران مرکزی در خاور. تجمع پرش راست بر در گسل‌های مرکزی و خاوری باعث ایجاد چرخش چپ بر بر روی گسل درونه می‌شود (Walker & Jackson, 2004).

جدول ۱- مقایسه میزان جابه‌جایی بخش‌های باختری و خاوری سنگ‌جوش‌های نئوژن در گستره گسل درونه، در تصاویر لنdest و کویک‌برد، به همراه جابه‌جایی آبراهه‌های این واحدها؛ سن آغاز جابه‌جایی واحدها و آبراهه‌هایی که بر روی آنها جریان دارند، با در نظر گرفتن نرخ لغزش yr/ $\sim 2/5$  mm/yr، برآورد شده است.

سن آغاز جابه‌جایی (هزار سال)		جابه‌جایی (متر)				موقعیت	شكل
در آبراهه‌ها	در واحدها	اندازه گیری شده	اندازه گیری شده	دو آبراهه‌ها	در واحدها		
		مقدار	محل	مقدار	محل		
۱۳۶۰۰	۱۸۲۸۰	۳۴۰		۴۵۷	باختر	شمال انداب	-الف-
۱۶۶۰۰	۱۷۸۰۰	۴۴		۴۳۷	خاور	۳۵°۱۴'N, ۵۷°۳۹'E	
۸۲۸۰۰	۲۰۷					۳۵°۱۵'N, ۵۷°۴۵'E	
۷۲۴۰۰	۱۸۱					۳۵°۱۵'N, ۵۷°۴۰'E	
۷۶۰۰۰	۱۹۰						
۳۱۶۰۰	۸۰۴۰۰	۷۹		۲۰۱	باختر	شمال انداب	-ب-
۴۶۰۰۰	۸۰۴۰۰	۱۱۵		۲۰۱	خاور	۳۵°۱۶'N, ۵۷°۴۷'E	
۳۵۲۰۰	۸۸					۵۷°۴۷'E	
۱۴۴۴۰۰	۱۵۷۶۰۰	۳۶۱		۳۹۴	باختر	پاشتر خلیل آباد	-الف-
۱۳۹۶۰۰	۱۷۷۲۰۰	۳۶۹		۳۶۸	خاور	۳۵°۱۷'N, ۵۸°۰۱'E	
۹۸۰۰۰	۲۲۵					۵۸°۰۱'E	
۲۴۴۰۰	۸۴۸۰۰	۶۱		۲۱۲	باختر	شمال خلیل آباد	-ب-
۱۴۴۰۰	۷۷۲۰۰	۳۶		۱۹۳	خاور	۳۵°۱۷'N, ۵۸°۰۱'E	
۲۳۰۰۰	۵۷/۵					۵۸°۰۱'E	
۱۸۴۰۰	۴۶						
۲۰۸۰۰	۴۲۰۰۰	۵۲	شاخه بالایی	۱۰۵	شاخه بالایی	شاخه بالایی	
۲۲۴۰۰	۳۶۴۰۰	۵۶		۹۱			
۲۶۰۰۰	۴۳۰۰۰	۶۵		۱۹			
۳۱۲۰۰	۶۰۰۰۰	۷۸	شاخه بالایی	۱۵۰	شاخه بالایی	شاخه بالایی	-ج-
۲۲۰۰۰	۷۴۰۰۰	۵۵					
۲۹۶۰۰	۷۴						
۲۷۶۰۰	۶۹						

همان گونه که در شکل‌های ۴ و ۵ دیده می‌شود جابه‌جایی‌هایی که در واحدهای زمین‌شناسی و آبراهه‌ها مشاهده می‌شود، چپ بر بودن جابه‌جایی Walker et al. (2004) و آشکار می‌کنند که تأییدی بر آنچه Wellman (1966) بیان کرده است، خواهد بود. با استفاده از جابه‌جایی‌هایی که در اطراف گسل به دست آمده است، به همراه نرخ لغزش به دست آمده به روش‌های OSL توسط Fattahi et al. (2006) و GPS توسط Tavakoli (2007) که هر دو به مقدار تقریبی  $2/5$  mm/yr اشاره کرده‌اند، سن شروع گسلش و جابه‌جایی چپ بر واحدهای، با استفاده از رابطه (۱) محاسبه شده است.

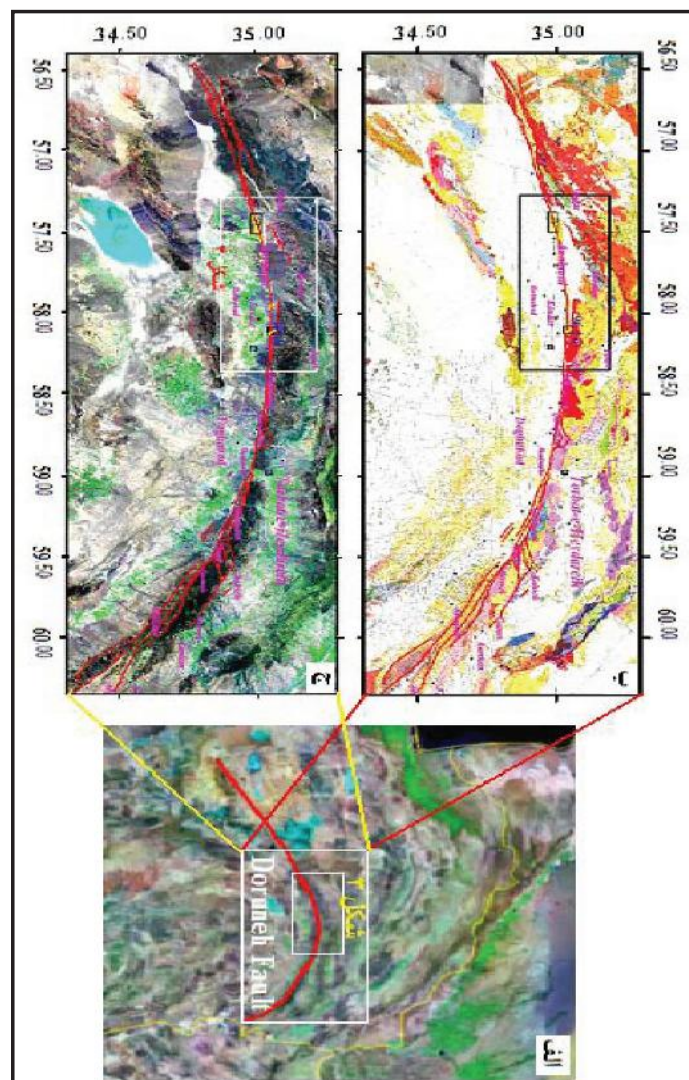
$$\text{رابطه (۱)} \quad T = \frac{d}{v}$$

که در آن  $T$  مدت زمان شروع جابه‌جایی و  $d$  مقدار جابه‌جایی به دست آمده به میلی‌متر و  $v$  نرخ لغزش در طول گسل با واحد میلی‌متر بر سال است. مقادیر جابه‌جایی واحدها و آبراهه‌ها به همراه طول و عرض و نرخ لغزش آنها و سن شروع جابه‌جایی آنها، در جدول ۱ نشان داده شده است. کمینه و بیشینه سن شروع جابه‌جایی به دست آمده برای واحدهای نئوژن، به ترتیب  $36,400$  و  $182,800$  سال برآورد شده است؛ کمینه و بیشینه سن جابه‌جایی به دست آمده برای آبراهه‌ها، به ترتیب  $14,400$  و  $161,600$  سال برآورد شده است. سن به دست آمده برای شروع گسلش در واحدهای و آبراهه‌های گسل درونه به هولوسن و بخشی از پلیستوسن وابسته است.

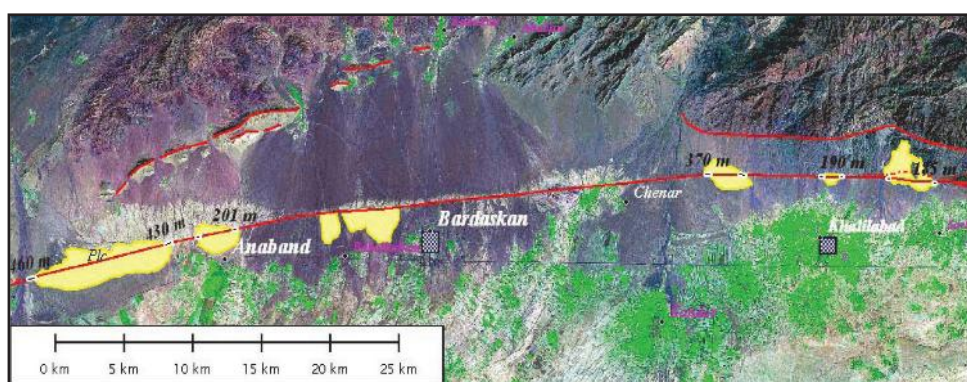
تعريف‌های موجود بیان می‌دارند گسل‌هایی که از ۱۰ هزار سال پیش تا کنون دارای فعالیت بوده‌اند، گسل فعل هستند (برگی، ۱۳۷۰). گسل درونه با توجه به میزان جابه‌جایی‌های اندازه‌گیری شده بر روی آن و سن تقریبی این جابه‌جایی‌ها، برخلاف آن که زمین لرزه بزرگی بر روی این گسل ثبت نشده است، گسلی فعال در این زمان است. با توجه به آن که وجود دست کم یک جنبش در ۳۵ هزار سال پیش، بیانگر توان جنبشی گسل است (برگی، ۱۳۷۰)، گسل درونه از توان جنبشی بالایی نیز برخوردار است. بنابراین گسل درونه، از گسل‌هایی است که به دلیل فعال بودن و توان جنبشی بالا، باید در بررسی خطر زمین لرزه‌ای در اولویت بررسی قرار گیرد.

### ۴- بحث و نتیجه‌گیری

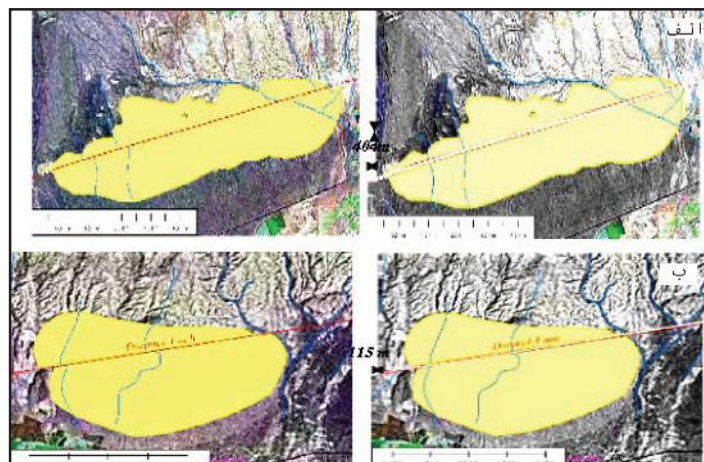
گسل درونه با استفاده از نقشه‌های زمین‌شناسی، عکس‌های هوایی و تصاویر ماهواره‌ای لنdest و کویک‌برد بررسی شد. کمینه و بیشینه میزان جابه‌جایی واحدهای زمین‌شناسی در گستره میانی گسل به ترتیب  $91$  و  $407$  متر به دست آمد. مقدار کمینه و بیشینه جابه‌جایی پدیده‌های جوان‌تر، مانند آبراهه‌ها، در این گستره به ترتیب  $36$  و  $404$  متر برآورد شد. دقت و درستی این نتایج را می‌توان با مشاهدات صحرایی افزایش داد. سن آغاز جابه‌جایی چپ بر واحدهای زمین‌شناسی در راستای گسل درونه، با استفاده از جابه‌جایی‌های برآورد شده و نرخ لغزش‌های به دست آمده بر روی این گسل بین  $36,400$  و  $182,800$  سال و سن شروع جابه‌جایی آبراهه‌ها در راستای این گسل  $14,400$  و  $161,600$  میلی‌متر محاسبه شد. با توجه به آن که به نظر می‌رسد بخش اصلی جابه‌جایی تجمعی بر روی گسل در طی کواترنری (و حتی هولوسن) روی داده باشد، می‌توان این گسل را یک گسل فعل در نظر گرفت. این موضوع ضرورت بررسی‌های دقیق‌تر با کمک اندازه‌گیری GPS و سن‌یابی مطلق به روش OSL، برای تعیین بهتر میزان فعالیت در بخش‌های مختلف گسل درونه را آشکار



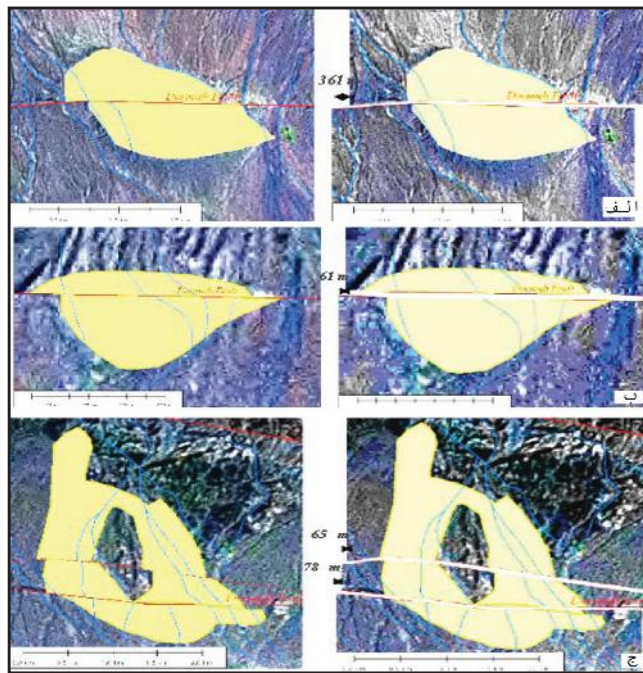
شکل ۲- (الف) تصویر ماهواره‌ای گوگل (کویک برد) موقعیت گسل درونه به صورت خط قرمز و گستره مورد بررسی با مستطیل سفید در شمال خاور ایران نشان داده شده است. (ب) نقشه زمین‌شناسی و موقعیت بخشی از گسل درونه که واحدهای زمین‌شناسی آن مورد بررسی قرار گرفته است به صورت خط قرمز در داخل مستطیل‌ها نشان داده شده. (ج) تصویر ماهواره‌ای لندست ۷ منطقه.



شکل ۳- واحدهای زمین‌شناسی نوژن و جابه‌جایی‌های آنها در گستره بی  $57^{\circ}39'$ ,  $58^{\circ}22'$  درجه خاوری حد فاصل بین خلیل‌آباد و بیرق در راستای گسل درونه در تصویر لندست ۷.



شکل ۴- جاهه‌جایی چپ بر آبراهه‌ها و واحدهای زمین‌شناسی در تصویر لندست ۷، در باختر و شمال انابد، که در آن واحدهای نتوزن به رنگ زرد و آبراهه‌ها به رنگ آبی نشان داده شده‌اند؛ الف) آبراهه‌های باختر انابد با بیشینه ۴۰۶ متر جاهه‌جایی در تصویر نشان داده شده‌اند، کمی جاهه‌جایی بیشتر واحد زمین‌شناسی دقیق‌تر منطبق خواهد شد چرا که مطابق جدول ۱ کمترین جاهه‌جایی واحد زمین‌شناسی ۴۳۷ متر است و برای انطباق باید کمی شمال انابد با بیشینه جاهه‌جایی ۱۱۵ متر نشان داده شده‌اند، در این تصویر نیز باید برای انطباق واحد زمین‌شناسی تصویر کمی بیشتر جاهه‌جا شود، چرا که کمترین جاهه‌جایی واحد زمین‌شناسی در این منطقه ۲۰۱ متر است (در محدوده طول جغرافیایی  $57^{\circ}49' E$ ,  $57^{\circ}38' N$ )



شکل ۵- جاهه‌جایی آبراهه‌ها و واحدهای زمین‌شناسی منطقه خلیل‌آباد در تصویر لندست ۷، که در آن واحدهای نتوزن به رنگ زرد و آبراهه‌ها به رنگ آبی نشان داده شده‌اند، چپ بر بودن حرکت گسل را نمایش می‌دهد؛ الف) آبراهه‌های باختر خلیل‌آباد، با بیشینه ۳۶۱ متر جاهه‌جایی در تصویر نشان داده شده‌اند، برای انطباق دو سمت واحد زمین‌شناسی، کمی جاهه‌جایی دیگر لازم است، چرا که کمترین جاهه‌جایی واحد نتوزن ۳۶۸ متر است. ب) آبراهه‌های شمال خلیل‌آباد، با بیشینه جاهه‌جایی ۶۱ متر نشان داده شده‌اند، در این تصویر مقدار جاهه‌جایی بیشتری نسبت به بخش قبل برای انطباق واحد زمین‌شناسی لازم است، به دلیل آن که کمترین جاهه‌جایی واحد نتوزن در این منطقه ۱۹۳ متر است. ج) آبراهه‌های بخش خاوری خلیل‌آباد، با بیشینه جاهه‌جایی ۶۵ متر در شاخه بالایی و ۷۸ متر در شاخه پایینی گسل نشان داده شده‌اند. در این بخش نیز مقدار جاهه‌جایی واحد نتوزن بیشتر از جاهه‌جایی آبراهه‌های مسیر است (بیشینه ۱۰۹ متر در شاخه بالایی و ۱۸۵ متر در شاخه پایینی) در محدوده طول و عرض  $57^{\circ}11' E$ ,  $35^{\circ}17' N$ -  $57^{\circ}22' E$ ,  $35^{\circ}17' N$

## کتابنگاری

- آقانباتی، ع.، ۱۳۸۳- زمین‌شناسی ایران، انتشارات سازمان زمین‌شناسی ایران، ۵۸۶ صفحه.
- برگی، خ.، ۱۳۷۰- اصول مهندسی زلزله، انتشارات دانشگاه تهران.
- جوادی، ح.ر.، ۱۳۸۵- زمین‌ساخت جنب، لرزه زمین‌ساخت و تحلیل ساختاری سامانه گسل درونه، پایان نامه کارشناسی ارشد، ۲۱۰ صفحه.
- درویش‌زاده، ع.، ۱۳۷۰- زمین‌شناسی ایران، انتشارات امیر کبیر، ۹۰۱ صفحه.
- زارع، م.، ۱۳۷۹- تحلیل لرزه زمین‌ساختی سیستم گسله درونه و بررسی زلزله‌های زمستان ۱۳۷۸- بهار ۱۳۷۹ کاشمر، پژوهشنامه زلزله‌شناسی و مهندسی زلزله، ص ۴۰-۴۲

## References

- Ambraseys, N. N. & Melville, C., 1982- A history of Persian earthquakes, Cambridge University Press, Cambridge.
- Berberian, M., 1976b- Contribution to the seismotectonic of Iran (Part II), Geological Survey Of Iran, Rep. No. 39, 1976b.
- Fattah, M., Walker, R. T., Khatib, M. M., Dolati, A. & Bahroudi, A., 2006- Slip-rate estimate and past earthquakes on the Doruneh fault, eastern Iran, Geophys. J. Int., doi: 10.1111/j.1365-246X.2006.03248.x.
- Geological Survey of Iran (GSI), Geological Quadrangle Map, 1:250,000 series, Kashmar sheet No. J5.1976.
- Geological Survey of Iran (GSI), Geological Quadrangle Map, 1:250,000 series, Khartouran sheet No. I5. 1987.
- Geological Survey of Iran (GSI), Geological Quadrangle Map, 1:250,000 series, Torbat-e-Heidarieh sheet No. K5.
- Stocklin, J., Nabavi, M. H., 1973- Tectonic map of Iran, Geol. Surv Iran.
- Tavakoli, F., 2007- Present-day deformation and kinematics of the active faults observed by GPS in the Zagros and east of Iran, Thesis, 313P.
- Tchalenko, J. S. & Berberian, M. & Behzadi, H., 1973- Geomorphic and seismic evidence for recent activity on the Doruneh Fault Iran, Tectonophysics, 19: 333-341.
- Walker, R. & Jackson, J., 2004- Active tectonics and late Cenozoic strain distribution in central and eastern Iran, Tectonics, Vol.23, TC5010 .doi:10.1029/2003TC001529.
- Walker, R., Jackson, J. & Baker, C., 2004-Active faulting and seismicity of the Dasht-e-Bayaz region, eastern Iran, Geophys. J. Int., 157, 265–282.
- Wellman, H. W., 1966- Active wrench faults of Iran, Afghanistan, and Pakistan,Geologische Rundschau, 55, 716–735.

The assemblage, abundance, and species diversity of foraminifera in the examined samples shows noticeable changes in the paleoenvironmental conditions. The maximum diversity of foraminifera is sixteen species. Based on species diversity, the strata classified to nine assemblages A to I. The abundance of foraminifera in each assemblage indicates that the sediments of the Qom Formation belong to inner shelf environments.

**Keywords:** Central Iran, Mahneshan, Early Miocene, Biostratigraphy, Paleoenvironment, Foraminifera, Qom Formation.

For Persian Version see pages 45 to 50

\* Corresponding author: J. Daneshian ; E-mail: daneshian@saba.tmu.ac.ir

## The Study of Rose Diagrams by Statistical Joint Systems of Intrusive Rocks in Shahrestan Area, Piranshahr (West Azarbaijan)

S. Alipour<sup>1\*</sup> & R. Nikrouz<sup>1</sup>

<sup>1</sup> Department of Geology, Faculty of Science, Urmia University, Urmia, Iran

Received: 2008 July 07

Accepted: 2009 February 22

### Abstract

Shahrestan mining district is the largest extensive granitic stone province in Iran. There are 25 active mines in this area. The study of rose diagrams with statistical joint systems at this ornamental stone mining district carried out in order to reduce expenses with low waste disposal of mining extraction. The most types of intrusive rocks are syenite, monzonite, gabbro and granite cropped out in the region. Alkali syenite is the main rock type in spite of varying color and texture. Diversity of apparent color and rock composition associated with variety of color in low distances, existence of joints, faults and thrusts around formations and rocks of moderately being metamorphosed, are the source of major problems in the region from the exploration till the excavation stages. The study results indicate that the main folding trend is extended in a northwest-southeast direction. Therefore the direction of quarries in central part must be developed in a north-south direction and in the northwest part in northwest-southeast direction while in the east of Shahrestan quarries must be created in a northeast – southwest trend.

**Keywords:** Piranshahr, Rose diagram, Syenite, Ornamental stone

For Persian Version see pages 51 to 56

\*Corresponding author: S. Alipour ; E-mail: alipour\_samad@yahoo.com

## Detection of Recent Activity on Doruneh Fault Using Remote Sensing Data and Geological Information

H. Amini<sup>1\*</sup>, M. Fattahi<sup>1</sup> & M. R. Ghassemi<sup>2</sup>

<sup>1</sup>Institute of Geophysics, University of Tehran, Tehran, Iran.

<sup>2</sup>Research Institute for Earth Sciences, Geological Survey of Iran, Tehran, Iran.

Received: 2008 November 25

Accepted: 2009 February 23

### Abstract

Doruneh is an active left- lateral strike- slip fault in North-East Iran. Surface trace of this fault is about 700 km long, and cuts across Quaternary and Tertiary deposits. In some places along the fault, sediments of Paleogene, Neogene, and alluvial fans of Quaternary age are displaced by the fault. Left- lateral displacement between 91-457 m are evident in Landsat images between east of Beiragh and east of Khalil-abad. Displacements are also evident in streams that are incised over the above mentioned deposits. We have tried to estimate the recent history of activity on the fault on the basis of the measured displacements and estimated slip rates of the fault. Estimated age of left- lateral movement inception on the fault is very much younger than the displaced geologic units. These observations indicate that Doruneh Fault has been mostly active during the last few millions, which in turn proves the fault to be an active structure.

**Keywords :** Doruneh fault, Displacement, Geology

For Persian Version see pages 57 to 62

\*Corresponding author: H. Amini; E-mail: ese\_Amini@yahoo.Com

## Lithofacies, Depositional Environment and Relative Sea Level Changes in Deposits Attributed to Lalun Formation in Bahmoo Section, Poshte Badam Block

M. Hosseini-Barzi<sup>1\*</sup> & N. Etemad Saeed<sup>1</sup>

<sup>1</sup>Department of Geology, Faculty of Earth Sciences, University of Shahid Beheshti, Tehran, Iran.

Received: 2008 September 15

Accepted: 2009 February 23

### Abstract

The Early Cambrian Lalun Formation in Poshte-Badam block has been studied in Bahmoo section with 550 m thickness, to illuminate its sedimentary environment and sea level changes. The field investigations, collection of 110 paleocurrent data, petrography, study of SEM images and XRD analysis of shale samples have been used for facies analysis, paleocurrent recognition and sedimentary environment reconstruction. The facies analyses imply 5 siliciclastic coarse grained (Gm), medium grained (Sp, St, Sh) and fine grained (Fl) lithofacies and 1 carbonate (dolomite) microfacies. The lithofacies, bipolar bimodal paleocurrent pattern and petrographic evidences such as the existence of glauconitic sandstones with high textural and compositional maturity imply deposition of these sediments in a Tidal Flat environment. Studying the relative sea level changes of Lalun deposits in this area imply two sequences which have been bounded between SB1 unconformities.

**Key Words:** Lalun Formation, Lithofacies, Paleocurrent, Relative sea level changes

For Persian Version see pages 63 to 70

\*Corresponding author: M. Hosseini-Barzi; E-mail: m\_hosseini@sbu.ac.ir

## Detecting Potential Seepage Paths in Bakhtyari Dam Site using Seismic Tomography

Y. Sharghi<sup>1\*</sup>, F. Alinia<sup>2</sup> & H. R. Siahkoohi<sup>3</sup>

<sup>1</sup>Mining Engineering Department, Sahand University of Technology, Tabriz, Iran

<sup>2</sup>Mining Engineering Department, Amirkabir University of Technology, Tehran, Iran

<sup>3</sup>Institute of Geophysics, Tehran University, Tehran, Iran

Received: 2008 August 02      Accepted: 2009 March 01

### Abstract

Seismic travel time tomography uses seismic waves to image velocity distribution inside the ground. This method has been widely applied to practical applications in many fields including earth sciences. In this method, first-arrival times of seismic waves due to artificial sources, observed at receivers in the vicinity of the exploration target are analyzed to obtain the velocity distribution within the propagation area. This paper describes the seismic tomography investigation performed at the abutments of Bakhtyari Dam site. The study aimed to find the low-velocity zones that may correspond to jointed media where seepage most likely happens. We performed 3-D tomographic inversion on Bakhtiari dam seismic data. To perform ray tracing and travel-time computation at each iteration, we used Um and Thurber (1987) method and for inversion step we used SIRT method. In most of the tomograms, average velocity was 3km/s. According to the Barton relation (2006) the seepage potential in dam sit abutments, is low. A low velocity zone has been detected above the 690 m level in right abutment. It shows that the weak zones extended from surface down to this level. Despite the presence of some weak zones, the rock mass quality is good, and the design of the grout curtain could help to bypass the reservoir water away from these seepage paths